



UNIVERSITÄTS-
BIBLIOTHEK
PADERBORN

Die Statik im Stahlbetonbau

Beyer, Kurt

Berlin [u.a.], 1956

39. Das Stabwerk mit geraden Stäben

[urn:nbn:de:hbz:466:1-74292](https://nbn-resolving.org/urn:nbn:de:hbz:466:1-74292)

Ostenfeld, A.: Die Deformationsmethode. Berlin 1926. Außerdem Aufsätze über das gleiche Thema: Eisenbau 1921 S. 275; Bauing. 1923 S. 34. — Mann, L.: Theorie der Rahmenwerke auf neuer Grundlage. Berlin 1927. — Pasternak, P.: Berechnung vielfach statisch unbestimmter biegefechter Stab- und Flächentragwerke. 1. Dreigliedrige Systeme. Zürich 1927.

39. Das Stabwerk mit geraden Stäben.

Die Untersuchung eines Stabwerks mit geraden oder mit geraden und gekrümmten Stäben zeigt keine grundsätzlichen Unterschiede. Sie ist nur für gerade Stäbe einfacher und wird daher vorweggenommen. Das Stabwerk besteht in diesem Falle aus $s = s_1$ geraden Stäben, r Stabknoten mit steifen oder gelenkigen Anschlüssen und aus r_1 Gelenken. Die mit dem Knoten J steif verbundenen Stäbe sind entweder mit dem benachbarten Stabknoten K ebenfalls starr verbunden (Bezeichnung h) oder am benachbarten Stabknoten G durch ein Gelenk angeschlossen (Bezeichnung g). Andere Verbindungen sind selten. Stäbe mit freiem Ende werden als Teile des Stabknotens behandelt.

Hauptsystem und geometrische Superposition. Der Spannungszustand des Stabwerks ist äquivalent demjenigen einer Knotenkette, wenn die Anschlussmomente des Stabwerks zu den Lasten als äußere Kräfte hinzutreten. Der Verschiebungszustand ist durch r Knotendrehwinkel φ_J und $f = f_1$ voneinander unabhängige Komponenten ψ_c bestimmt. Sie werden in einem geometrisch bestimmten, der Knotenkette zugeordneten Hauptsystem mit $\varphi_J = 0$ ($J = A \dots N$), $\psi_c = 0$ ($c = 1 \dots f$) berechnet. f bezeichnet den Freiheitsgrad der Knotenkette mit $\varphi_J = 0$, $\varepsilon_h = 0$. In Übereinstimmung mit anderen Ansätzen der Baustatik werden stets die EJ_c -fachen Komponenten des Verschiebungszustandes verwendet und diese in Zukunft durch φ_J , ϑ_h , ε_h , u_J bezeichnet. Das Vergleichsträgheitsmoment J_c wird nach S. 92 ausgewählt.

Die abhängigen Komponenten des Verschiebungszustandes sind nach (521) lineare Funktionen der unbekanntenen Größen ψ_c ($c = 1 \dots f$)

$$\vartheta_h = \vartheta_{h0} + \sum \vartheta_{hc} \psi_c, \quad u_J = u_{J0} + \sum u_{Jc} \psi_c. \quad (526)$$

Die Stabdrehwinkel ϑ_{h0} und die Punktverschiebungen u_{J0} des geometrisch bestimmten Hauptsystems entstehen aus den Stützenverschiebungen $EJ_c \Delta_e$, den Längenänderungen $EJ_c \Delta l_{h0}$ infolge der Längskräfte N_{h0} und der Temperaturänderung t bei $\psi_c = 0$.

$$EJ_c \Delta l_{h0} = N_{h0} \frac{J_h}{F_h} l'_h + EJ_c \alpha_t t l_h. \quad (527)$$

Die Stabdrehwinkel ϑ_{h0} werden hieraus nach Abschn. 13 für jeden Stab numerisch berechnet oder durch einen Williot'schen Verschiebungsplan für die Knotenkette zeichnerisch bestimmt. Die Vorzahlen ϑ_{hc} sind die Stabdrehwinkel des Hauptsystems für $\psi_c = 1$. Auch diese werden aus einem Verschiebungsplan oder durch Rechnung aus dem Polplan der $\psi_c \neq 0$ zugeordneten zwangsläufigen Kette Γ_c des Hauptsystems erhalten.

Der Rahmenbinder Abb. 295 enthält eine Stabkette mit fünf Freiheitsgraden. Die folgenden Komponenten des Verschiebungszustandes sind unabhängig voneinander.

- ψ_1 absoluter Drehwinkel des Stabes 1,
- ψ_2 Änderung des Stabzugwinkels $\sphericalangle BAC$,
- ψ_3 Änderung des Stabzugwinkels $\sphericalangle DCE$,
- ψ_4 parallele Verschiebung des Stabes 6 relativ zum Stab CD ,
- ψ_5 Änderung des Stabzugwinkels $\sphericalangle CDF$.

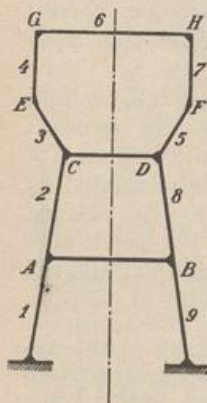
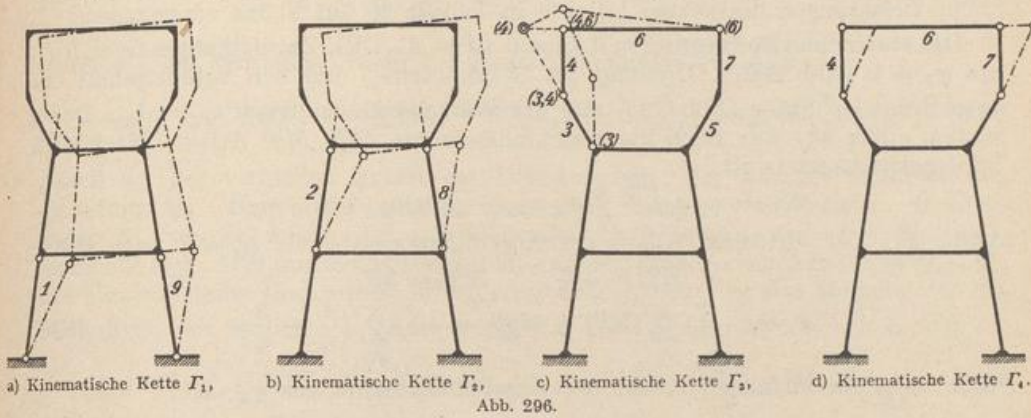


Abb. 295.

Um die für das Superpositionsgesetz (526) notwendigen Stabdrehwinkel ϑ_{hc} angeben zu können, sind die Verschiebungspläne der zwangsläufigen Ketten $\Gamma_1 \dots \Gamma_4$ für $\psi_1 = 1 \dots \psi_4 = 1$ gezeichnet worden (Abb. 296). Sie stimmen mit den Ge-



schwindigkeitsplänen für $\dot{\psi}_1 = 1 \dots \dot{\psi}_4 = 1$ überein. Der Verschiebungszustand der zwangsläufigen Kette Γ_5 ist zu demjenigen der Kette Γ_3 symmetrisch.

Die Anschlußkräfte am Stabknoten. Die $(r + f)$ unbekanntes unabhängigen Komponenten φ_J, ψ_c werden aus ebenso vielen statischen Bedingungen

$$\delta A_J = 0, \quad (J = A \dots N), \quad \delta A_c = 0, \quad (c = 1 \dots f) \quad (528)$$

berechnet, die für die äußeren Kräfte an $(r + f)$ zwangsläufigen, voneinander unabhängigen Gebilden angeschrieben werden. Hierbei wirken neben der Belastung ($\mathfrak{P}_J, \mathfrak{P}_h$) der Stabknoten und Stäbe die Anschlußmomente des Stabwerks als äußere Kräfte der Knotenkette mit. Diese sind Funktionen der Belastung, der Temperaturänderung $t, \Delta t$ und der geometrischen Randwerte $\varphi_J, \varphi_K, \vartheta_h$ nach (505), (510). Die Superposition der Anteile liefert bei geraden Stäben mit konstantem Trägheitsmoment J_h, J_g und den auf ein Vergleichsträgheitsmoment J_c bezogenen reduzierten Längen $l'_h = l_h J_c / J_h, l'_g = l_g J_c / J_g$ folgende Ansätze:

$$\left. \begin{aligned} M_J^{(h)} &= M_{J_0}^{(h)} + \varphi_J M_{JJ}^{(h)} + \varphi_K M_{JK}^{(h)} + \vartheta_h M_{J\vartheta}^{(h)}, \\ M_K^{(h)} &= M_{K_0}^{(h)} + \varphi_J M_{KJ}^{(h)} + \varphi_K M_{KK}^{(h)} + \vartheta_h M_{K\vartheta}^{(h)}. \end{aligned} \right\} \quad (529)$$

a) Steife Verbindung des Stabes (h) mit den Knoten J und K nach (505):

$$\left. \begin{aligned} M_J^{(h)} &= M_{J_0}^{(h)} + \varphi_J \frac{4}{l'_h} + \varphi_K \frac{2}{l'_h} - \vartheta_h \frac{6}{l'_h}, \\ M_K^{(h)} &= M_{K_0}^{(h)} + \varphi_J \frac{2}{l'_h} + \varphi_K \frac{4}{l'_h} - \vartheta_h \frac{6}{l'_h}. \end{aligned} \right\} \quad (530)$$

b) Steife Verbindung des Stabes (h) mit dem elastisch drehbaren Knoten J und der starren Einspannung K nach (506):

$$M_J^{(h)} = M_{J_0}^{(h)} + \varphi_J \frac{4}{l'_h} - \vartheta_h \frac{6}{l'_h}, \quad M_K^{(h)} = M_{K_0}^{(h)} + \varphi_J \frac{2}{l'_h} - \vartheta_h \frac{6}{l'_h}. \quad (531)$$

Die Anteile $M_{J_0}^{(h)}, M_{K_0}^{(h)}$ sind als Anschlußmomente des Hauptsystems ($\varphi_J = 0, \psi_c = 0$) Einspannungsmomente des beiderseits eingespannten Stabes (h) infolge von $\mathfrak{P}_h, \Delta t$. Ihr Drehsinn ist nach S. 307 im Uhrzeigersinn positiv.

Die Tabelle 25 S. 323 enthält die Angaben für alle wichtigen Belastungen.

c) Steife Verbindung des Stabes (g) mit dem Knoten J und gelenkige Verbindung mit dem Knoten G nach (510):

$$M_J^{(g)} = M_{J_0}^{(g)} + \varphi_J M_{JJ}^{(g)} + \vartheta_g M_{J\vartheta}^{(g)} = M_{J_0}^{(g)} + \varphi_J \frac{3}{l'_g} - \vartheta_g \frac{3}{l'_g}. \quad (532)$$

Der Anteil $M_J^{(g)}$ bedeutet hier als Anschlußmoment des Hauptsystems ($\varphi_J = 0, \psi_c = 0$) das Einspannungsmoment des einseitig eingespannten Stabes (g) infolge von $\mathfrak{P}_h, \Delta t$. Der Drehsinn ist ebenfalls im Uhrzeigersinn positiv. Die Ergebnisse $M_J^{(g)}$ für zahlreiche Belastungen des Stabes (g) sind in Tabelle 26 auf S. 324 eingetragen.

Die statischen Bedingungen $\delta A_J = 0$ ($J = A \dots N$). Zwangläufiges Gebilde Γ_J mit $\varphi_J \neq 0$ (Abb. 292c). Drehung des Stabknotens J um den Schnittpunkt der anschließenden Stäbe (Abb. 293) mit der Winkelgeschwindigkeit $\dot{\varphi}_J = \dot{1}_J$. Dabei leisten außer M_J nur noch die Anschlußmomente $M_J^{(h)}, M_J^{(g)}$ Arbeit. Nach dem Superpositionsgesetz ist

$$\delta A_J = \varphi_J a_{JJ} + \sum \varphi_K a_{JK} + \sum \psi_c a_{Jc} + a_{J0} = 0.$$

Anteil a_{JJ} der virtuellen Arbeit der Anschlußmomente aus $\varphi_J = 1$ nach (530):

$$\begin{aligned} M_J^{(h)} &= 4/l'_h, & M_J^{(g)} &= 3/l'_g, \\ a_{JJ} &= -\dot{1}_J \sum_J (M_J^{(h)} + M_J^{(g)}) = -\dot{1}_J \sum_J \left(\frac{4}{l'_h} + \frac{3}{l'_g} \right). \end{aligned} \quad (533)$$

Anteil a_{JK} der virtuellen Arbeit der Anschlußmomente aus $\varphi_K = 1$:

$$M_J^{(h)} = 2/l'_h, \quad a_{JK} = -\dot{1}_J M_J^{(h)} = -\dot{1}_J \frac{2}{l'_h}. \quad (534)$$

Anteil a_{Jc} der virtuellen Arbeit der Anschlußmomente aus den Stabdrehwinkeln $\vartheta_{hc}, \vartheta_{gc}$ infolge von $\psi_c = 1$:

$$\begin{aligned} M_J^{(h)} &= -\vartheta_{hc} \cdot 6/l'_h, & M_J^{(g)} &= -\vartheta_{gc} \cdot 3/l'_g, \\ a_{Jc} &= -\dot{1}_J \sum_J (M_J^{(h)} + M_J^{(g)}) = +\dot{1}_J \sum_J \left(\frac{6\vartheta_{hc}}{l'_h} + \frac{3\vartheta_{gc}}{l'_g} \right). \end{aligned} \quad (535)$$

Anteil a_{J0} der virtuellen Arbeit aus der Belastung M_J, \mathfrak{P}_h , Temperaturänderung $t, \Delta t$ und Stützenverschiebung: Die Anschlußmomente $M_J^{(h)}, M_J^{(g)}$ aus der Belastung \mathfrak{P}_h der Stäbe und aus ungleichförmiger Temperaturänderung Δt sind in den Tabellen 25 und 26 enthalten. Die Anschlußmomente aus gleichförmiger Temperaturänderung und Stützenverschiebung werden nach (530) aus den Stabdrehwinkeln $\vartheta_{h0} \equiv \vartheta_{ht}, \vartheta_{hs}$ des Hauptsystems berechnet.

$$a_{J0} = -\dot{1}_J \left[\sum_J (M_J^{(h)} + M_J^{(g)}) - \sum_J \left(\frac{6\vartheta_{h0}}{l'_h} + \frac{3\vartheta_{g0}}{l'_g} \right) - M_J \right]. \quad (536)$$

Die statischen Bedingungen $\delta A_c = 0$ ($c = 1 \dots f$). Das zwangläufige Gebilde Γ_c mit $\psi_c \neq 0$ (Abb. 292e) ist eine Knotenkette. Sie besteht aus den Knotenscheiben und einzelnen Stäben oder Stabgruppen, da die Bewegung in der Regel auf einen Abschnitt der Knotenkette beschränkt bleibt. Dabei können sich die abhängigen Komponenten des Verschiebungszustandes des Hauptsystems (S. 311) ändern, dagegen sind alle unabhängigen Komponenten φ_J, ψ_b außer ψ_c Null. Der Geschwindigkeitszustand der Kette ist durch $\dot{\psi}_c = \dot{1}_c$ bestimmt. Dabei verschieben sich die Knotenscheiben parallel, während sich die Kettenstäbe (h) um die Pole O_{hc} mit den Winkelgeschwindigkeiten v_{hc} drehen (Abb. 294). Diese werden nach Abschn. 13 aus dem Polplan der Kette berechnet. Bei dieser Bewegung entsteht virtuelle Arbeit durch die Belastung \mathfrak{P}_h und durch die Anschlußmomente an den Stäben oder Stabgruppen (h).

$$\delta A_c = \psi_c a_{cc} + \sum \psi_b a_{cb} + \sum \varphi_J a_{cJ} + a_{c0} = 0.$$

Anteil a_{cc} der virtuellen Arbeit der Anschlußmomente aus $\psi_c = 1$ mit den Drehwinkeln ϑ_{hc} nach S. 312 und (530):

$$\begin{aligned} M_J^{(h)} &= M_{Kc}^{(h)} = -6\vartheta_{hc}/l'_h, & M_J^{(g)} &= -3\vartheta_{gc}/l'_g, \\ a_{cc} &= \dot{1}_c \sum_c [v_{hc}(M_J^{(h)} + M_{Kc}^{(h)}) + v_{gc}M_J^{(g)}] = -\dot{1}_c \sum_c \left(\frac{12\vartheta_{hc}}{l'_h} v_{hc} + \frac{3\vartheta_{gc}}{l'_g} v_{gc} \right). \end{aligned} \quad (537)$$

Anteil a_{cb} der virtuellen Arbeit der Anschlußmomente aus $\psi_b = 1$ mit den Drehwinkeln ϑ_{hb} :

$$a_{cb} = -i_c \sum_c \left(\frac{12\vartheta_{hb}}{l_h} v_{hc} + \frac{3\vartheta_{gb}}{l_g} v_{gc} \right). \quad (538)$$

Anteil a_{cJ} der virtuellen Arbeit der Anschlußmomente aus $\varphi_J = 1$:

$$a_{cJ} = i_c \sum_c [(M_{J0}^{(h)} + M_{KJ}^{(h)}) v_{hc} + M_{J0}^{(g)} v_{gc}] = i_c \sum_c \left(\frac{6}{l_h} v_{hc} + \frac{3}{l_g} v_{gc} \right). \quad (539)$$

Anteil a_{c0} der virtuellen Arbeit der Belastung \mathfrak{P}_h , der Anschlußmomente aus Belastung \mathfrak{P}_h , Temperaturänderung $t, \Delta t$ und Stützenverschiebungen: Knotenlasten \mathfrak{P}_J werden einem der anschließenden Stäbe zugewiesen. Die Biegemomente $M_{J0}^{(h)}, M_{J0}^{(g)}$ aus der Belastung \mathfrak{P}_h und den Stabdrehwinkeln $\vartheta_{h0} \equiv \vartheta_{ht}, \vartheta_{hs}$ des Hauptsystems sind auf S. 307 erörtert worden. $M_{h,c}$ ist das Moment der Belastung \mathfrak{P}_h des Stabes $h = \overline{JK}$ in bezug auf den Pol O_{hc} ; $M_0^{(h)} = M_{J0}^{(h)} + M_{K0}^{(h)}$

$$a_{c0} = i_c \sum_c \left[\left(M_0^{(h)} - \frac{12\vartheta_{h0}}{l_h} + M_{h,c} \right) v_{hc} + \left(M_{J0}^{(g)} - \frac{3\vartheta_{g0}}{l_g} + M_{g,c} \right) v_{gc} \right]. \quad (540)$$

Die Form der Matrix. Die Winkelgeschwindigkeiten v_{hc} stimmen bis auf die Dimension mit den Stabdrehwinkeln überein, so daß

$$a_{Ac} = a_{cA}, \quad a_{bc} = a_{cb}.$$

Das Ergebnis kann auch allgemein aus dem Gesetz über die Gegenseitigkeit der Wirkung von A. J. Maxwell bewiesen werden. In Anlehnung an (166) ist für zwei voneinander unabhängige, geometrisch verträgliche Verschiebungszustände eines Stabwerks

$$\sum \vartheta_I \mathfrak{M}_{II} = \sum \vartheta_{II} \mathfrak{M}_{II}. \quad (541)$$

Die Matrix der $(r + f)$ linearen Gleichungen $\delta A_J = 0, \delta A_b = 0$ ist daher zur Hauptdiagonale symmetrisch.

Polpläne zweier Stabketten mit einer unabhängigen Komponente. Zwangläufige Kette I_1 mit $\psi_1 = 1$.

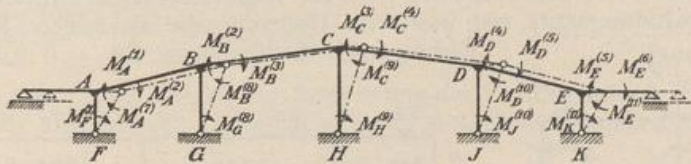


Abb. 297. (Riegelstäbe 1 bis 6, Pfosten 7 bis 11)
 $\vartheta_3 = \psi_1 = 1: r_{01} \dots r_{06} = 0, r_{71} = l_3/l_7, r_{81} = l_3/l_8.$

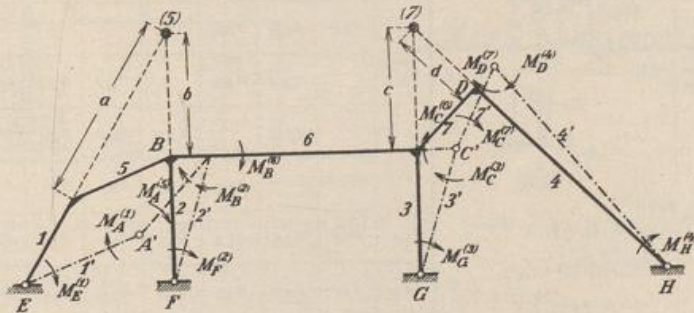


Abb. 298. $\vartheta_3 = \psi_1 = 1: r_{21} = 1, r_{51} = -l_3/b, r_{11} = +l_3/b \cdot a/l_1,$
 $r_{71} = -l_3/c, r_{41} = +l_3/c \cdot d/l_4.$

Die Vorzahlen a_{Jc} , a_{bc} sind in der Regel von Null verschieden, dagegen sind alle Vorzahlen a_{JH} Null, wenn der Knoten H nicht mit dem Stabknoten J durch einen Stab verbunden ist. Die unabhängigen Komponenten φ_J des Verschiebungszustandes der Knotenkette sind daher nur zum Teil in den statischen Bedingungen $\delta A_J = 0$ enthalten. Die Matrix besteht dann aus zwei Teilen, von denen der eine voll, der andere je nach der Struktur des Hauptsystems nur teilweise besetzt ist (s. u.).

Die formale Entwicklung der Matrix wird an einem Silorahmen Abb. 299 gezeigt. Der Verschiebungszustand der Knotenkette ist durch $r + f = 6 + 3$ unabhängige Komponenten bestimmt. Sie werden aus neun statischen Bedingungen berechnet:

$$\delta A_J = 0, \quad J = B \dots H; \quad \delta A_c = 0, \quad c = 1 \dots 3.$$

Als Komponenten ψ_c der Knotenkette dienen

$$\psi_1 = \vartheta_5, \quad \psi_2 = \frac{\vartheta_1 + \vartheta_2}{2}, \quad \psi_3 = \frac{\vartheta_1 - \vartheta_2}{2}.$$

Demnach sind die statischen Bedingungen für die zwangläufigen Gebilde $\Gamma_1 \dots \Gamma_3$ notwendig. Die Stabdrehwinkel ϑ_{hc} und die Winkelgeschwindigkeiten v_{hc} werden

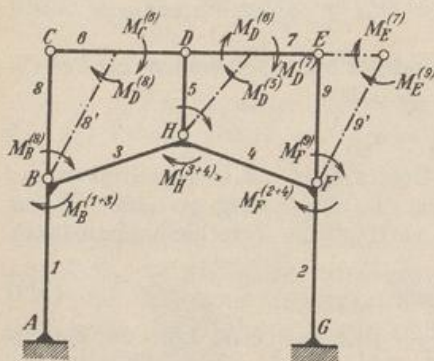


Abb. 299a.
Kette Γ_1 : $\dot{\psi}_1 = v_{11} = 1, \quad v_{13} = l_3/l_8,$
 $v_{14} = l_3/l_9, \quad v_{15} = v_{17} = l_3.$

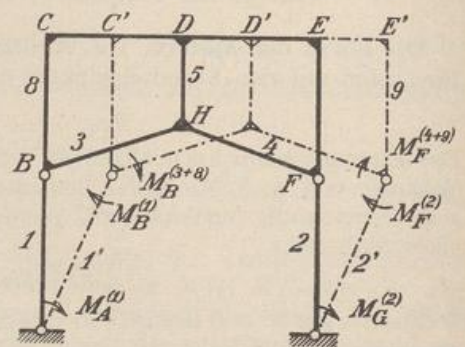


Abb. 299b.
Kette Γ_2 : $\dot{\psi}_2 = v_{22} = 1 = v_{12},$
 $v_{23} = v_{24} = \dots = v_{29} = l_2.$

durch Rechnung aus den Polplänen Abb. 299 abgeleitet. Diese enthalten auch diejenigen Stabendmomente mit positivem Drehsinn, die als äußere Kräfte in die Gleichgewichtsbedingungen $\delta A_c = 0$ usw. eingehen.

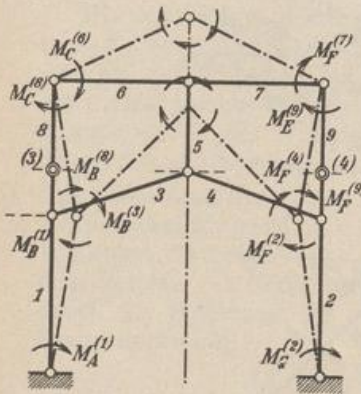


Abb. 299c.
Kette Γ_3 : $\dot{\psi}_3 = v_{13} = -v_{23} = 1,$
 $-v_{33} = +v_{33} = \frac{l_1}{l_8},$
 $-v_{33} = +v_{43} = -v_{63} = +v_{73} = \frac{l_1}{l_8 - l_5},$
 $v_{35} = \frac{l_1}{l_8 - l_5} l_6.$

	φ_B	φ_C	φ_D	φ_H	φ_E	φ_F	ψ_1	ψ_2	ψ_3	
B	a_{BB}	a_{BC}		a_{BH}			a_{B1}	a_{B2}	a_{B3}	a_{B0}
C	a_{CB}	a_{CC}	a_{CD}				a_{C1}	a_{C2}	a_{C3}	a_{C0}
D		a_{DC}	a_{DD}	a_{DH}	a_{DE}		a_{D1}	a_{D2}	a_{D3}	a_{D0}
H	a_{HB}		a_{HD}	a_{HH}		a_{HF}	a_{H1}	a_{H2}	a_{H3}	a_{H0}
E			a_{ED}		a_{EE}	a_{EF}	a_{E1}	a_{E2}	a_{E3}	a_{E0}
F				a_{FH}	a_{FE}	a_{FF}	a_{F1}	a_{F2}	a_{F3}	a_{F0}
1	a_{1B}	a_{1C}	a_{1D}	a_{1H}	a_{1E}	a_{1F}	a_{11}	a_{12}	a_{13}	a_{10}
2	a_{2B}	a_{2C}	a_{2D}	a_{2H}	a_{2E}	a_{2F}	a_{21}	a_{22}	a_{23}	a_{20}
3	a_{3B}	a_{3C}	a_{3D}	a_{3H}	a_{3E}	a_{3F}	a_{31}	a_{32}	a_{33}	a_{30}

Tabelle 25. Randmomente des beiderseits eingespannten Stabes mit konstantem Trägheitsmoment.

$M_{Jo}^{(j)}$ $\left(\begin{array}{c} J \\ \longleftarrow l_h \\ \longrightarrow \\ K \end{array} \right) M_{Ko}^{(j)}$ $\frac{m}{l_h} = \mu; \frac{n}{l_h} = \nu; \frac{m'}{l_h} = \mu'; \frac{n'}{l_h} = \nu'; x/l_h = \xi; x'/l_h = \xi'$

Belastung	$M_{Jo}^{(j)}$	$M_{Ko}^{(j)}$
	$-\frac{p_h l_h^2}{12}$	$+\frac{p_h l_h^2}{12}$
	$-\frac{p_h l_h^2}{30}$	$+\frac{p_h l_h^2}{20}$
	$-\frac{5}{96} p_h l_h^2$	$+\frac{5}{96} p_h l_h^2$
	$-\frac{p_h l_h^2}{12} [6(\nu^2 - \mu^2) - 8(\nu^3 - \mu^3) + 3(\nu^4 - \mu^4)]$	$+\frac{p_h l_h^2}{12} [6(\nu'^2 - \mu'^2) - 8(\nu'^3 - \mu'^3) + 3(\nu'^4 - \mu'^4)]$
	$-\frac{p_h l_h^2}{12} \nu^3 (1 + 3\mu)$	$+\frac{p_h l_h^2}{12} \nu'^2 [1 + \mu (2 + 3\mu)]$
	$-\frac{p_h l_h^2}{12} \nu [v^2 + 6\mu (1 - \mu)]$	$+\frac{p_h l_h^2}{12} \nu [v^2 + 6\mu (1 - \mu)]$
	$-\frac{p_h l_h^2}{12} \nu [5v^2 + 6\mu (1 - \mu)]$	$+\frac{p_h l_h^2}{12} \nu [5v^2 + 6\mu (1 - \mu)]$
	$-P l_h \omega'_x$	$+P l_h \omega_x$
	$+M \xi' (2 - 3\xi')$	$+M \xi (2 - 3\xi)$
Ungleichförmige Temperaturänderung um $t_u - t_o = \Delta t$	$-E J_h \frac{\alpha_i \Delta t}{h_h}$	$+E J_h \frac{\alpha_i \Delta t}{h_h}$

Die Anwendung der Theorie zur Berechnung der Verschiebungen und Schnittkräfte wird für alle äußeren Ursachen an zwei einfachen Beispielen gezeigt.

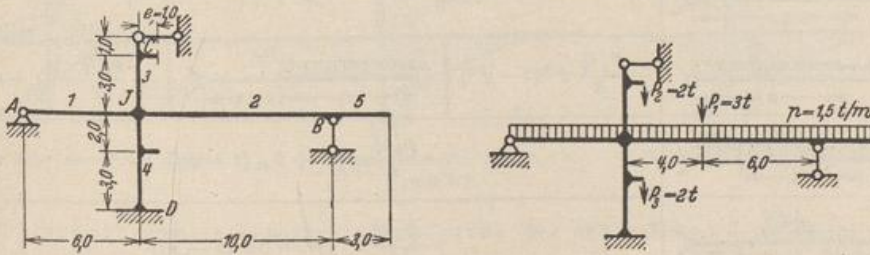


Abb. 300a und b.

Beispiel 1.

1. Bezeichnungen und Abmessungen (Abb. 300). (Allen Zahlen liegen die Einheiten t und m zugrunde).

$J_1 = 0,006, \quad J_2 = 0,020, \quad J_3 = 0,004, \quad J_4 = 0,005 \text{ m}^4,$
 $J_o = 0,004, \quad E J_o = 2100000 \cdot 0,004 = 8400 \text{ tm}^2;$
 $l'_1 = 4,00, \quad l'_2 = 2,00, \quad l'_3 = 4,00, \quad l'_4 = 4,00 \text{ m},$
 Trägerhöhe: $h_1 = 0,6, \quad h_2 = 0,85 \text{ m}.$

Die Verschiebungen v, u werden positiv bezeichnet, wenn sie nach unten oder nach rechts gerichtet sind.

Abszissen ξ sind nach rechts und abwärts,
Abszissen ξ' nach links und aufwärts positiv.

2. Überzählige Größe und statische Bedingungsgleichung.

Überzählige Größe: φ_J ; Statische Bedingung: $a_{JJ} \varphi_J + a_{J0} = 0$.

$$\varphi_J = -\frac{a_{J0}}{a_{JJ}}; \quad a_{JJ} = -i \left(\frac{3}{l_1} + \frac{3}{l_2} + \frac{3}{l_3} + \frac{4}{l_4} \right) = -4,000.$$

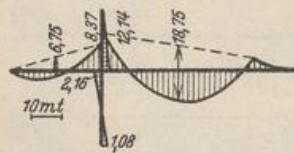
3. Belastung der Stäbe 1, 2, 5 durch $p = 1,5 \text{ t/m}$ (Abb. 301a).

$$M_{J0}^{(1)} = +\frac{p l_1^2}{8} = +6,750; \quad M_{J0}^{(2)} = -\frac{p l_2^2}{8} + \frac{1}{2} \frac{p l_2^2}{2} = -15,375 \text{ mt.}$$

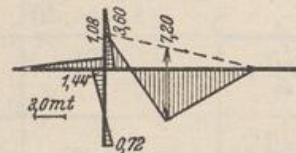
$$a_{J0} = -i (M_{J0}^{(1)} + M_{J0}^{(2)}) = +8,625, \quad \varphi_J = +2,156.$$

$$M_J^{(1)} = M_{J0}^{(1)} + \frac{3}{l_1} \varphi_J = +8,367, \quad M_J^{(2)} = M_{J0}^{(2)} + \frac{3}{l_2} \varphi_J = -12,141 \text{ mt}$$

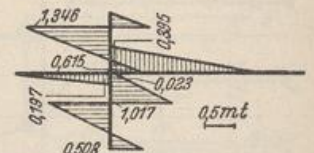
$$M_J^{(3)} = \frac{3}{l_3} \varphi_J = +1,617, \quad M_J^{(4)} = \frac{4}{l_4} \varphi_J = +2,156, \quad M_D^{(4)} = \frac{2}{l_4} \varphi_J = +1,078 \text{ mt.}$$



a) Biegemomente infolge p .



b) Biegemomente infolge P_1 .



c) Biegemomente infolge $P_2 = P_3$.

Abb. 301.

Tabelle 26. Randmoment des einseitig eingespannten Stabes mit konstantem Trägheitsmoment.

	$\frac{n_g}{l_g} = \mu; \quad \frac{n}{l_g} = \nu; \quad \frac{m'}{l_g} = \mu'; \quad \frac{n'}{l_g} = \nu'; \quad x/l_g = \xi; \quad x'/l_g = \xi'$		
	$-\frac{p_g l_g^3}{8}$		$-\frac{5}{64} p_g l_g^3$
	$-\frac{7}{120} p_g l_g^3$		$-\frac{p_g l_g^3}{15}$
	$-\frac{p_g l_g^3}{8} [2(\nu'^2 - \mu'^2) - (\nu'^4 - \mu'^4)]$		
	$-\frac{p_g l_g^3}{8} \nu'^2 (2 - \nu'^2)$		$-\frac{p_g l_g^3}{8} \nu'^2 (1 + \mu'^2)$
	$-\frac{p_g l_g^3}{8} \nu [\nu^2 + 6\mu(1 - \mu)]$		
	$-\frac{p_g l_g^3}{8} \nu [5\nu^2 + 6\mu(1 - \mu)]$		
	$-\frac{P l_g}{2} \omega_D$		$-\frac{M}{2} \omega_M$
Ungleichförmige Temperaturänderung um $t_u - t_o = \Delta t$			$-\frac{3}{2} E J_g \frac{\alpha_t \Delta t}{h_g}$

4. Belastung des Stabes 2 durch $P_1 = 3 \text{ t}$ (Abb. 301 b).

$$M_{J_0}^{(2)} = -\frac{P_1 l_2}{2} \omega_D' = -\frac{3,0 \cdot 10,0}{2} \cdot 0,384 = -5,760 \text{ mt.}$$

$$a_{J_0} = -i \cdot M_{J_0}^{(2)} = +5,760; \quad \varphi_J = +1,440.$$

$$M_J^{(1)} = \frac{3}{l_1} \varphi_J = +1,080, \quad M_J^{(2)} = M_{J_0}^{(2)} + \frac{3}{l_2} \varphi_J = -3,600 \text{ mt.}$$

$$M_J^{(3)} = \frac{3}{l_3} \varphi_J = +1,080, \quad M_J^{(4)} = \frac{4}{l_4} \varphi_J = +1,440, \quad M_D^{(4)} = \frac{2}{l_4} \varphi_J = +0,720 \text{ mt.}$$

5. Belastung der Stäbe 3 und 4 durch $P_2 = P_3 = 2 \text{ t}$ (Abb. 301 c):

$$M_{J_0}^{(3)} = -\frac{P_2 e}{2} (3 \xi^2 - 1) = -\frac{2,0 \cdot 1,0}{2} (3 \cdot 0,25^2 - 1) = +0,812 \text{ mt.}$$

$$M_{J_0}^{(4)} = P_3 e \xi' (2 - 3 \xi') = 2,0 \cdot 1,0 \cdot 0,6 (2 - 3 \cdot 0,6) = +0,240,$$

$$M_{D_0}^{(4)} = P_3 e \xi (2 - 3 \xi) = +0,640.$$

$$a_{J_0} = -i (M_{J_0}^{(3)} + M_{J_0}^{(4)}) = -1,052; \quad \varphi_J = -0,263.$$

$$M_J^{(1)} = \frac{3}{l_1} \varphi_J = -0,197, \quad M_J^{(2)} = \frac{3}{l_2} \varphi_J = -0,395 \text{ mt,} \quad M_J^{(3)} = M_{J_0}^{(3)} + \frac{3}{l_3} \varphi_J = +0,615,$$

$$M_J^{(4)} = M_{D_0}^{(4)} + \frac{4}{l_4} \varphi_J = -0,023 \text{ mt,} \quad M_D^{(4)} = M_{D_0}^{(4)} + \frac{2}{l_4} \varphi_J = +0,508.$$

6. Temperaturerhöhung aller Stäbe um $t = 15^\circ$ (Abb. 302 a).

$$\alpha_t t = 0,00015, \quad \alpha_t t E J_c = 1,26,$$

$$\vartheta_{1t} = -E J_c \frac{\alpha_t t l_1}{l_1} = -1,050, \quad \vartheta_{2t} = +E J_c \frac{\alpha_t t l_2}{l_2} = +0,630,$$

$$\vartheta_{3t} = -E J_c \frac{\alpha_t t l_3}{l_3} = -1,890, \quad \vartheta_{4t} = +E J_c \frac{\alpha_t t l_4}{l_4} = +1,512,$$

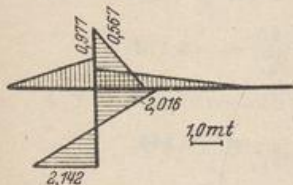
$$a_J = -i \left(-\frac{3}{l_1} \vartheta_{1t} - \frac{3}{l_2} \vartheta_{2t} - \frac{3}{l_3} \vartheta_{3t} - \frac{6}{l_4} \vartheta_{4t} \right) = +1,008.$$

$$\varphi_J = +0,252,$$

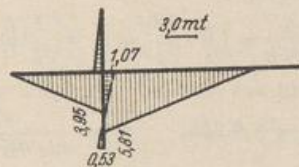
$$M_J^{(1)} = \frac{3}{l_1} (\varphi_J - \vartheta_{1t}) = +0,977, \quad M_J^{(2)} = \frac{3}{l_2} (\varphi_J - \vartheta_{2t}) = -0,567 \text{ mt,}$$

$$M_J^{(3)} = \frac{3}{l_3} (\varphi_J - \vartheta_{3t}) = +1,606, \quad M_J^{(4)} = \frac{2}{l_4} (2 \varphi_J - 3 \vartheta_{4t}) = -2,016,$$

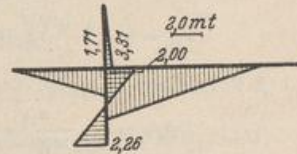
$$M_D^{(4)} = \frac{2}{l_4} (\varphi_J - 3 \vartheta_{4t}) = -2,142.$$



a) Biegemomente infolge t .



b) Biegemomente infolge Δt .



c) Biegemomente infolge $\Delta x_2, \Delta y_2$.

Abb. 302.

7. Ungleichförmige Temperatur-Änderung der Stäbe 1 und 2 um $\Delta t = -10^\circ$.

$$M_{J \Delta t}^{(1)} = \frac{3}{2} E J_1 \frac{\alpha_t \Delta t}{h_1} = -3,150, \quad M_{J \Delta t}^{(2)} = -\frac{3}{2} E J_2 \frac{\alpha_t \Delta t}{h_2} = +7,413 \text{ mt,}$$

$$a_{J \Delta t} = -i (M_{J \Delta t}^{(1)} + M_{J \Delta t}^{(2)}) = -4,263; \quad \varphi_J = -1,066.$$

$$M_J^{(1)} = M_{J \Delta t}^{(1)} + \frac{3}{l_1} \varphi_J = -3,949, \quad M_J^{(2)} = M_{J \Delta t}^{(2)} + \frac{3}{l_2} \varphi_J = +5,814 \text{ mt,}$$

$$M_J^{(3)} = \frac{3}{l_3} \varphi_J = -0,799, \quad M_J^{(4)} = \frac{4}{l_4} \varphi_J = -1,066, \quad M_D^{(4)} = \frac{2}{l_4} \varphi_J = -0,533 \text{ (Abb. 302 b).}$$

8. Verschiebung des Stützpunktes D um $\Delta x_d = -0,001$ m und $\Delta y_d = +0,002$ m.

$$\vartheta_{1s} = +E J_c \frac{\Delta y_d}{l_1} = +2,800, \quad \vartheta_{2s} = -E J_c \frac{\Delta y_d}{l_2} = -1,680,$$

$$\vartheta_{4s} = -E J_c \frac{\Delta x_d}{l_4} = +1,680.$$

$$a_{Js} = -i \left(-\frac{3}{l_1} \vartheta_{1s} - \frac{3}{l_2} \vartheta_{2s} - \frac{6}{l_4} \vartheta_{4s} \right) = +2,100; \quad \varphi_J = +0,525.$$

$$M_J^{(1)} = \frac{3}{l_1} (\varphi_J - \vartheta_{1s}) = -1,706, \quad M_J^{(2)} = \frac{3}{l_2} (\varphi_J - \vartheta_{2s}) = +3,308 \text{ mt},$$

$$M_J^{(3)} = \frac{3}{l_3} \varphi_J = +0,394, \quad M_J^{(4)} = \frac{2}{l_4} (2\varphi_J - 3\vartheta_{4s}) = -1,995,$$

$$M_D^{(4)} = \frac{2}{l_4} (\varphi_J - 3\vartheta_{4s}) = -2,258 \quad (\text{Abb. 302c}).$$

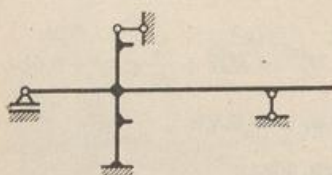


Abb. 303.

Beispiel 2.

1. Bezeichnungen und Abmessungen: Das System (Abb. 303) unterscheidet sich von dem vorhergehenden nur durch ein bewegliches Lager A . Die Abmessungen und Belastungen sind unverändert.

2. Überzählige Größen: $\varphi_J, \psi_1 = \vartheta_1$.

Statische Bedingungen: $a_{JJ} \varphi_J + a_{J1} \psi_1 + a_{J0} = 0,$

$$a_{1J} \varphi_J + a_{11} \psi_1 + a_{10} = 0.$$

Zustand $\varphi_J = 1$:

$$M_{JJ}^{(1)} = \frac{3}{l_1}, \quad M_{JJ}^{(2)} = \frac{3}{l_2}, \quad M_{JJ}^{(3)} = \frac{3}{l_3}, \quad M_{JJ}^{(4)} = \frac{4}{l_4}, \quad M_{DJ}^{(4)} = \frac{2}{l_4}.$$

Zustand $\psi_1 = 1$:

$$\vartheta_{11} = 0, \quad \vartheta_{21} = 0, \quad \vartheta_{31} = -\frac{l_4}{l_3}, \quad \vartheta_{41} = 1;$$

$$M_{J1}^{(1)} = M_{J1}^{(2)} = 0, \quad M_{J1}^{(3)} = \frac{3}{l_3} \frac{l_4}{l_3}, \quad M_{J1}^{(4)} = M_{D1}^{(4)} = -\frac{6}{l_4}.$$

Vorzahlen der Bedingungsgleichungen:

$$a_{JJ} = -i \left(\frac{3}{l_1} + \frac{3}{l_2} + \frac{3}{l_3} + \frac{4}{l_4} \right) = -4,000,$$

$$a_{J1} = -i \left(+\frac{3}{l_3} \frac{l_4}{l_3} - \frac{6}{l_4} \right) = +0,562,$$

$$a_{11} = \left(-i \frac{l_4}{l_3} \right) \left(+\frac{3}{l_3} \frac{l_4}{l_3} \right) + i \left(-\frac{12}{l_4} \right) = -3 \left(\frac{1}{l_3} \frac{l_4^2}{l_3} + \frac{4}{l_4} \right) = -4,172.$$

β -Vorzahlen:

$$\beta_{JJ} = \frac{a_{11}}{a_{JJ} a_{11} - a_{J1}^2} = -0,255, \quad \beta_{11} = \frac{a_{JJ}}{a_{JJ} a_{11} - a_{J1}^2} = -0,244$$

$$\beta_{J1} = -\frac{a_{J1}}{a_{JJ} a_{11} - a_{J1}^2} = -0,034;$$

$$-\varphi_J = a_{J0} \beta_{JJ} + a_{10} \beta_{J1}, \quad -\psi_1 = a_{J0} \beta_{1J} + a_{10} \beta_{11}.$$

3. Belastung der Stäbe 1, 2, 5 durch $p = 1,5$ t/m (Abb. 304a).

$$M_{J0}^{(1)} = +6,750, \quad M_{J0}^{(2)} = -15,375 \text{ mt}.$$

$$a_{J0} = -i (M_{J0}^{(1)} + M_{J0}^{(2)}) = +8,625, \quad a_{10} = 0.$$

$$-\varphi_J = a_{J0} \beta_{JJ} = -2,199, \quad -\psi_1 = a_{J0} \beta_{1J} = -0,297.$$

$$\vartheta_1 = \vartheta_2 = 0, \quad \vartheta_3 = -\frac{l_4}{l_3} \psi_1 = -0,371, \quad \vartheta_4 = +0,297.$$

$$M_J^{(1)} = M_{J_0}^{(1)} + \frac{3}{l_1} \varphi_J = +8,399, \quad M_J^{(2)} = M_{J_0}^{(2)} + \frac{3}{l_2} \varphi_J = -12,076,$$

$$M_J^{(3)} = \frac{3}{l_3} (\varphi_J - \vartheta_3) = +1,928, \quad M_J^{(4)} = \frac{2}{l_4} (2\varphi_J - 3\vartheta_4) = +1,754,$$

$$M_D^{(4)} = \frac{2}{l_4} (\varphi_J - 3\vartheta_4) = +0,654 \text{ mt.}$$

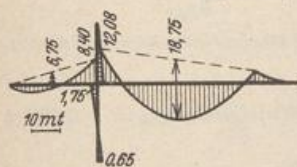
4. Belastung des Stabes 2 durch $P_1 = 3 \text{ t}$ (Abb. 304b).

$$M_{J_0}^{(2)} = -5,760, \quad a_{J_0} = -i M_{J_0}^{(2)} = +5,76, \quad a_{10} = 0,$$

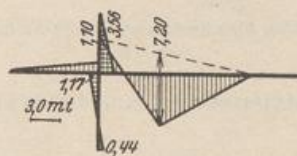
$$\varphi_J = +1,469, \quad \psi_1 = +0,198, \quad \vartheta_1 = \vartheta_2 = 0, \quad \vartheta_3 = -0,247, \quad \vartheta_4 = +0,198.$$

$$M_J^{(1)} = \frac{3}{l_1} (\varphi_J - \vartheta_1) = +1,102, \quad M_J^{(2)} = M_{J_0}^{(2)} + \frac{3}{l_2} \varphi_J = -3,557 \text{ mt,}$$

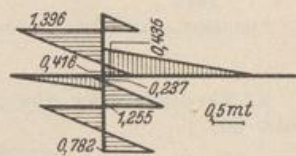
$$M_J^{(3)} = +1,287, \quad M_J^{(4)} = +1,172, \quad M_D^{(4)} = +0,438.$$



a) Biegemomente infolge φ .



b) Biegemomente infolge P_1 .



c) Biegemomente infolge $P_2 = P_3$.

Abb. 304.

5. Belastung der Stäbe 3 und 4 durch $P_2 = P_3 = 2 \text{ t}$ (Abb. 304c).

$$M_{J_0}^{(3)} = +0,812, \quad M_{J_0}^{(4)} = +0,240, \quad M_{D_0}^{(4)} = +0,640 \text{ mt,}$$

$$a_{J_0} = -i (M_{J_0}^{(3)} + M_{J_0}^{(4)}) = -1,052,$$

$$a_{10} = -i \frac{l_4}{l_3} (M_{J_0}^{(3)} + M_{3,1}) + i (M_{J_0}^{(4)} + M_{D_0}^{(4)} + M_{4,1})$$

$$= -i \frac{4,00}{5,00} (0,812 + 2,0 \cdot 1,0) + 1 (0,240 + 0,640 + 2,0 \cdot 1,0) = -0,636.$$

$$-\varphi_J = a_{J_0} \beta_{J_0} + a_{10} \beta_{10} = +0,290, \quad -\psi_1 = a_{J_0} \beta_{1J} + a_{10} \beta_{11} = +0,191,$$

$$\vartheta_1 = \vartheta_2 = 0, \quad \vartheta_3 = -\frac{l_4}{l_3} \psi_1 = +0,239, \quad \vartheta_4 = -0,191,$$

$$M_J^{(1)} = \frac{3}{l_1} \varphi_J = -0,218, \quad M_J^{(2)} = \frac{3}{l_2} \varphi_J = -0,435,$$

$$M_J^{(3)} = M_{J_0}^{(3)} + \frac{3}{l_3} (\varphi_J - \vartheta_3) = +0,416, \quad M_J^{(4)} = M_{J_0}^{(4)} + \frac{2}{l_4} (2\varphi_J - 3\vartheta_4) = +0,237,$$

$$M_D^{(4)} = M_{D_0}^{(4)} + \frac{2}{l_4} (\varphi_J - 3\vartheta_4) = +0,782 \text{ mt.}$$

6. Temperaturerhöhung aller Stäbe um $t = 15^\circ$ (Abb. 305a).

$$\vartheta_{1t} = -E J_c \frac{\alpha_t t l_4}{l_1} = -1,050, \quad \vartheta_{2t} = +E J_c \frac{\alpha_t t l_4}{l_2} = +0,630, \quad \vartheta_{3t} = \vartheta_{4t} = 0,$$

$$a_{Jt} = -i \left(-\frac{3}{l_1} \vartheta_{1t} - \frac{3}{l_2} \vartheta_{2t} \right) = +0,158, \quad a_{1t} = 0,$$

$$\varphi_J = 0,040, \quad \psi_1 = 0,005.$$

$$\vartheta_1 = -1,050, \quad \vartheta_2 = +0,630, \quad \vartheta_3 = -\frac{l_4}{l_3} \psi_1 = -0,007, \quad \vartheta_4 = +0,005.$$

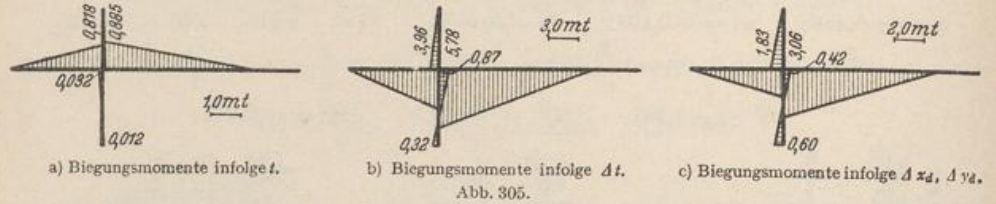
$$M_J^{(1)} = \frac{3}{l_1} (\varphi_J - \vartheta_1) = +0,818, \quad M_J^{(2)} = \frac{3}{l_2} (\varphi_J - \vartheta_2) = -0,885 \text{ mt,}$$

$$M_J^{(3)} = \frac{3}{l_3} (\varphi_J - \vartheta_3) = +0,035, \quad M_J^{(4)} = \frac{2}{l_4} (2\varphi_J - 3\vartheta_4) = +0,032,$$

$$M_D^{(4)} = \frac{2}{l_4} (\varphi_J - 3\vartheta_4) = +0,012 \text{ mt.}$$

7. Ungleichförmige Temperaturänderung der Stäbe 1 und 2 um $\Delta t = -10^\circ$.

$$\begin{aligned}
 M_{J\Delta t}^{(1)} &= -3,150, & M_{J\Delta t}^{(2)} &= +7,413 \text{ mt.} \\
 a_{J\Delta t} &= -1 (M_{J\Delta t}^{(1)} + M_{J\Delta t}^{(2)}) = -4,263, & a_{1\Delta t} &= 0; \\
 \varphi_J &= -1,086, & \psi_1 &= -0,146. \\
 \vartheta_1 = \vartheta_2 &= 0, & \vartheta_3 &= +0,183, & \vartheta_4 &= -0,146, \\
 M_J^{(1)} &= -3,965, & M_J^{(2)} &= +5,784, & M_J^{(3)} &= -0,952, \\
 M_J^{(4)} &= -0,867, & M_D^{(4)} &= -0,324 \text{ mt.} & & \text{(Abb. 305b).}
 \end{aligned}$$



8. Verschiebung des Stützpunktes d um $\Delta x_d = -0,001 \text{ m}$ und $\Delta y_d = +0,002 \text{ m}$ (Abb. 305c).

$$\begin{aligned}
 \vartheta_{1s} &= +E J_c \frac{\Delta y_d}{l_1} = +2,800, & \vartheta_{2s} &= -E J_c \frac{\Delta y_d}{l_2} = -1,680, \\
 \vartheta_{4s} &= -E J_c \frac{\Delta x_d}{l_4} = +1,680, \\
 a_{J_s} &= -i \left(-\frac{3}{l_1} \vartheta_{1s} - \frac{3}{l_2} \vartheta_{2s} - \frac{6}{l_4} \vartheta_{4s} \right) = +2,100, & a_{1s} &= i \left(-\frac{12}{l_4} \vartheta_{4s} \right) = -5,040, \\
 \varphi_J &= +0,362, & \psi_1 &= -1,160. \\
 \vartheta_1 = \vartheta_{1s} &= +2,800, & \vartheta_2 = \vartheta_{2s} &= -1,680, & \vartheta_3 = \vartheta_{31} \psi_1 &= +1,450, \\
 \vartheta_4 &= \vartheta_{4s} + \vartheta_{41} \psi_1 = +0,520, \\
 M_J^{(1)} &= -1,828, & M_J^{(2)} &= +3,063, & M_J^{(3)} &= -0,816 \text{ mt,} \\
 M_J^{(4)} &= -0,418, & M_D^{(4)} &= -0,599.
 \end{aligned}$$

Durchgehender Träger mit elastisch drehbaren Stützen. $\psi_c = 0$.

1. Geometrische Größen (alle Zahlen mit den Einheiten m und t), Abb. 306:
 Trägheitsmoment der Riegel: $J_r = 0,120 \text{ m}^4$; Trägheitsmoment der Pfosten: $J_s = 0,240 \text{ m}^4$;
 $J_c = J_r = 0,120$; $l_1 = 14,0$; $l_3 = l_5 = l_7 = 12,5$; $l_6 = 8,325$; $l_2 = l_4 = l_8 = l_8 = 5,5$.

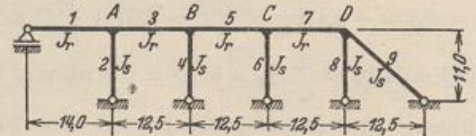


Abb. 306.

2. Überzählige Größen und statische Bedingungsgleichungen. Überzählige: $\varphi_A, \varphi_B, \varphi_C, \varphi_D$.

Matrix der statischen Bedingungen:

	φ_A	φ_B	φ_C	φ_D	
A	a_{AA}	a_{AB}	.	.	a_{A0}
B	a_{BA}	a_{BB}	a_{BC}	.	a_{B0}
C	.	a_{CB}	a_{CC}	a_{CD}	a_{C0}
D	.	.	a_{DC}	a_{DD}	a_{D0}

$$\begin{aligned}
 a_{AA} &= -i \left(\frac{3}{l_1} + \frac{3}{l_2} + \frac{4}{l_3} \right) = -1,079712, \\
 a_{AB} = a_{BC} = a_{CD} &= -i \frac{2}{l_3} = -0,160000, \\
 a_{BB} = a_{CC} &= -i \left(\frac{4}{l_3} + \frac{3}{l_4} + \frac{4}{l_5} \right) = -1,185454, \\
 a_{DD} &= -i \left(\frac{4}{l_7} + \frac{3}{l_8} + \frac{3}{l_9} \right) = -1,225814.
 \end{aligned}$$

	φ_A	φ_B	φ_C	φ_D
A	- 1,079 712	- 0,160 000		
B	- 0,160 000	- 1,185 454	- 0,160 000	
C		- 0,160 000	- 1,185 454	- 0,160 000
D			- 0,160 000	- 1,225 814

3. Auflösung durch Entwicklung von β_{44} und β_{11} nach einem Kettenbruch:

$$\kappa_{AB} = \frac{a_{BA}}{a_{AA}} = + 0,148 188; \quad a_{BB}^{(1)} = a_{BB} - a_{AB} \kappa_{AB} = - 1,161 744,$$

$$\kappa_{BC} = \frac{a_{CB}}{a_{BB}^{(1)}} = + 0,137 724; \quad a_{CC}^{(2)} = a_{CC} - a_{BC} \kappa_{BC} = - 1,163 418,$$

$$\kappa_{CD} = \frac{a_{DC}}{a_{CC}^{(2)}} = + 0,137 526; \quad a_{DD}^{(3)} = a_{DD} - a_{CD} \kappa_{CD} = - 1,203 810,$$

$$\beta_{DD} = \frac{1}{a_{DD}^{(3)}} = - 0,830 696,$$

$$\kappa_{DC} = \frac{a_{CD}}{a_{DD}^{(3)}} = + 0,130 526; \quad a_{CC}^{(1)} = a_{CC} - a_{DC} \kappa_{DC} = - 1,164 570,$$

$$\kappa_{CB} = \frac{a_{BC}}{a_{CC}^{(1)}} = + 0,137 390; \quad a_{BB}^{(2)} = a_{BB} - a_{CB} \kappa_{CB} = - 1,163 472,$$

$$\kappa_{BA} = \frac{a_{AB}}{a_{BB}^{(2)}} = + 0,137 519; \quad a_{AA}^{(3)} = a_{AA} - a_{BA} \kappa_{BA} = - 1,057 709,$$

$$\beta_{AA} = \frac{1}{a_{AA}^{(3)}} = - 0,945 440.$$

Vorzahlen β_{JK}

	a_{A0}	a_{B0}	a_{C0}	a_{D0}	
φ_A	- 0,945 440	+ 0,130 016	- 0,017 863	+ 0,002 332	- 0,148 188
φ_B	+ 0,130 016	- 0,877 371	+ 0,120 542	- 0,015 734	- 0,137 724
φ_C	- 0,017 863	+ 0,120 542	- 0,875 243	+ 0,114 242	- 0,137 526
φ_D	+ 0,002 332	- 0,015 734	+ 0,114 242	- 0,830 696	

$$\varphi_J = - \sum \beta_{JK} a_{k0}$$

4. Belastung durch Eigengewicht $g = 2.0 \text{ t/m}$ (Abb. 307a).

$$M_{A0}^{(1)} = + \frac{g l_1^2}{8} = + 49,0000, \quad M_{A0}^{(3)} = - \frac{g l_3^2}{12} = - 26,0417 \text{ mt},$$

$$M_{B0}^{(3)} = - M_{B0}^{(5)} = M_{C0}^{(5)} = - M_{C0}^{(7)} = M_{D0}^{(7)} = + 26,0417.$$

$$a_{A0} = - i (M_{A0}^{(1)} + M_{A0}^{(3)}) = - 22,9583; \quad a_{B0} = - i (M_{B0}^{(3)} + M_{B0}^{(5)}) = 0,$$

$$a_{C0} = 0; \quad a_{D0} = - 26,0417.$$

$$\varphi_A = - 21,645, \quad \varphi_B = + 2,575, \quad \varphi_C = + 2,565, \quad \varphi_D = - 21,579$$

$$\begin{aligned}
 M_A^{(1)} &= M_{A0}^{(1)} + \frac{3}{l_1} \varphi_A = +44,362; & M_A^{(2)} &= \frac{3}{l_2} \varphi_A = -11,806. \\
 M_A^{(3)} &= M_{A0}^{(3)} + \frac{2}{l_3} (2\varphi_A + \varphi_B) = -32,556; & M_B^{(4)} &= \frac{3}{l_4} \varphi_B = +1,405. \\
 M_B^{(5)} &= M_{B0}^{(5)} + \frac{2}{l_5} (2\varphi_B + \varphi_A) = +23,403; & M_C^{(6)} &= \frac{3}{l_6} \varphi_C = +1,399. \\
 M_B^{(8)} &= M_{B0}^{(8)} + \frac{2}{l_8} (2\varphi_B + \varphi_C) = -24,808; & M_D^{(9)} &= \frac{3}{l_9} \varphi_D = -11,770. \\
 M_C^{(5)} &= M_{C0}^{(5)} + \frac{2}{l_5} (2\varphi_C + \varphi_B) = +27,275; & M_D^{(9)} &= \frac{3}{l_9} \varphi_D = -7,776. \\
 M_C^{(7)} &= M_{C0}^{(7)} + \frac{2}{l_7} (2\varphi_C + \varphi_D) = -28,674. \\
 M_D^{(7)} &= M_{D0}^{(7)} + \frac{2}{l_7} (2\varphi_D + \varphi_C) = +19,547 \text{ mt.}
 \end{aligned}$$

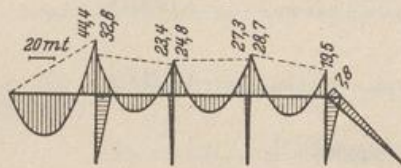
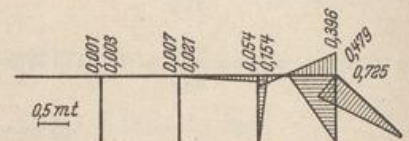
a) Biegemomente infolge $g = 2 \text{ t/m}$.b) Biegemomente infolge $W = 1 \text{ t}$.

Abb. 307.

5. Belastung durch eine waagerechte Kraft W in 1,6 m Höhe über dem Knoten D (Abb. 307 b).

$$\begin{aligned}
 M_D &= 1,6 W & a_{D0} &= 1,6 W \\
 \varphi_A &= -0,003731 W & \varphi_C &= -0,182787 W \\
 \varphi_B &= +0,025174 W & \varphi_D &= +1,329114 W \\
 M_A^{(1)} &= -0,000799 W & M_C^{(5)} &= -0,054464 W \\
 M_A^{(2)} &= -0,002035 W & M_C^{(6)} &= -0,099702 W \\
 M_A^{(3)} &= +0,002833 W & M_C^{(7)} &= +0,154166 W \\
 M_B^{(3)} &= +0,007459 W & M_D^{(7)} &= +0,396071 W \\
 M_B^{(4)} &= +0,013731 W & M_D^{(8)} &= +0,724971 W \\
 M_B^{(5)} &= -0,021190 W & M_D^{(9)} &= +0,478960 W \text{ mt.}
 \end{aligned}$$

40. Die Auflösung des Ansatzes.

Geometrisch bestimmtes Hauptsystem. Die $(r + f)$ linearen Gleichungen des Ansatzes $\delta A_J = 0, \delta A_c = 0$ werden mit dem Gaußschen Algorithmus (Abschnitt 29) aufgelöst. Die Rechnung ist formal einfach, aber bei einer größeren Anzahl von Unbekannten zeitraubend und durch ungünstige Fehlerfortpflanzung unter Umständen schwierig. Die Wurzeln des Ansatzes werden daher bei einzelnen Belastungsfällen oft schneller und zuverlässiger durch Iteration bestimmt (Abschnitt 30).

Um die Unbekannten auch bei zahlreichen Belastungsfällen in einfacher Weise anzugeben oder Einflußlinien der unbekannteten Verschiebungen und Anschlußkräfte aufzuzeichnen, werden die Vorzahlen β_{JH}, β_{cb} der zu a_{JH}, a_{cb} konjugierten Matrix berechnet (Abschn. 25). Damit ist

$$\left. \begin{aligned}
 -\varphi_J &= \sum \beta_{JH} a_{H0} + \sum \beta_{Jb} a_{b0}, & (H = 1 \dots N, \quad b = 1 \dots f), \\
 -\psi_c &= \sum \beta_{cH} a_{H0} + \sum \beta_{cb} a_{b0}, & (H = 1 \dots N, \quad b = 1 \dots f).
 \end{aligned} \right\} \quad (542)$$